

شبیه‌سازی عددی صعود اضطراری یک زیردریایی شش درجه آزادی

استادیار، دانشگاه تحصیلات تکمیلی صنعتی و فناوری پیشرفت کرمان، گروه مهندسی مکانیک	رضیا دهقانی*
مریبی، دانشگاه آزاد اسلامی واحد شهر مجلسی، گروه مهندسی مکانیک	اسماعیل عابدی
استادیار، دانشگاه صنعتی اصفهان، پژوهشکده علوم و تکنولوژی زیر دریا	محمدعلی بدرا
کارشناسی ارشد، دانشگاه صنعتی اصفهان، پژوهشکده علوم و تکنولوژی زیر دریا	داود میرزا

چکیده

در این مقاله رفتار دینامیکی زیردریایی در حین مانور صعود اضطراری و تخلیه مخازن ثابت شناوری (مخازن بالاست) بررسی شده است. در صعودهای اضطراری، مخازن بالاست نقش موثری در حرکت زیردریایی دارد. در هنگام ضرورت، هوای ذخیره شده در زیردریایی به داخل مخازن دمیده می‌شود و باعث کم شدن وزن زیردریایی در مقابل نیروی شناوری می‌شود و زیردریایی به سطح آب صعود می‌کند. اگر چه فرآیند دمیدن هوا و تخلیه در موقع اضطراری صورت می‌گیرد ولی در مانور پذیری زیردریایی تأثیر زیادی دارد. لذا در نظر گرفتن فرآیند دمیدن هوا، در معادلات حرکت و بررسی تأثیر پارامترهای مختلف مدل‌سازی بر مانور صعود اضطراری از اهمیت ویژه‌ای برخوردار است که در این مقاله به آن پرداخته شده است. زیردریایی مورد نظر شش درجه آزادی در نظر گرفته شده و دارای چهار مخازن بالاست اصلی می‌باشد. برای مدل سازی فرایند دمیدن هوا به مخازن بالاست، تنوری جریان تراکم پذیر و آیزنتروپیک بکار گرفته شده است. شبیه‌سازی‌ها برای یک زیردریایی نمونه انجام شده و رفتار آن در حین مانور صعود اضطراری بررسی شده است. همچنین اثر پارامترهای مختلف از جمله مشخصه‌های هوای ورودی به مخازن بالاست بر زاویه حمله، لغزش جانبی (دریفت) و زمان رسیدن به سطح در مانور صعود بررسی شده است. نتایج نشان می‌دهند با افزایش فشار هوای ذخیره شده و تغییر زاویه سطوح کنترلی افقی عقب می‌توان زمان رسیدن به سطح را کاهش داد.

واژه‌های کلیدی: زیردریایی، صعود اضطراری، مخازن بالاست اصلی، فرآیند دمیدن هوا.

Numerical Simulation of Emergency Rising of A 6-DOF Submarine

R. Dehghani	Assistant Professor, Graduate University of Advanced Technology Kerman, Department of Mechanical Engineering
E. Abedi	M.Sc., Islamic Azad University, Majlesi Branch, Department of Mechanical Engineering
M. A. Badri	Assistant Professor, Isfahan University of Technology, Subsea Research & Development Centre
D. Mirzaee	M.Sc., Isfahan University of Technology, Subsea Research & Development Centre

Abstract

In this paper, submarine motion is studied during emergency rising maneuver and blowing air in the main ballast tanks (MBTs). In emergency rising, the MBT plays an important role in the submarine motion. In an emergency situation, the stored compressed air is blown into the MBTs. Reducing the weight of the submarine causes the submarine to rise. Although blowing process may be done in an emergency situation but it is very effective in the maneuverability of submarine. Hence, this paper aims to consider the blowing process and effect of parameters in the emergency rising maneuver. A 6-DOF submarine with four MBTs is considered. The equations of motion are derived and blowing air to the MBTs is modeled by compressible isentropic flow. Simulations are carried out for a typical submarine. The behavior of submarine is investigated in the emergency rising maneuver. Also, the effect of different parameters such as intake air characteristics on the angle of attack and drift and climbing time are studied. The results show that the rising time can be reduced by increasing the pressure of stored air and turning elevators.

Keywords: Submarine, Emergency Rising, Main Ballast Tank, Air Blowing Process.

۱- مقدمه

زیردریایی برای ماموریت‌های تحقیقاتی و نظامی مورد استفاده قرار می‌گیرد که باید بتواند در آبهای عمیق به خوبی از عهده ماموریت‌های محله برآید. با توجه به شرایط محیطی، اینمی در همه زیردریایی‌ها یک مسئله مهم است. به طور کلی گیرکردن سطوح کنترلی و آب گرفتگی زیردریایی نمونه‌ای از اتفاقاتی هستند که اینمی زیردریایی‌ها را به مخاطره می‌اندازد. به همین منظور زیردریایی‌ها باید در برابر این خطرات مقاوم باشند و اقدامات مناسبی در موقع مواجه شدن با این خطرات صورت گیرد. از جمله این اقدامات، صعود اضطراری زیردریایی به سطح می‌باشد. لذا شناخت حرکت زیردریایی در حین انجام این مانور از اهمیت زیادی برخوردار است که در این مقاله مورد بررسی قرار می‌گیرد. معمولاً نیروها و ممانهای هیدرودینامیکی به صورت تابعی از پارامترهای حالت زیردریایی در نظر گرفته می‌شوند [۱-۵]. پس از استخراج نیروهای هیدرودینامیکی، می‌توان رفتار زیردریایی در ماموریت‌های مختلف را بررسی کرد [۶-۸].

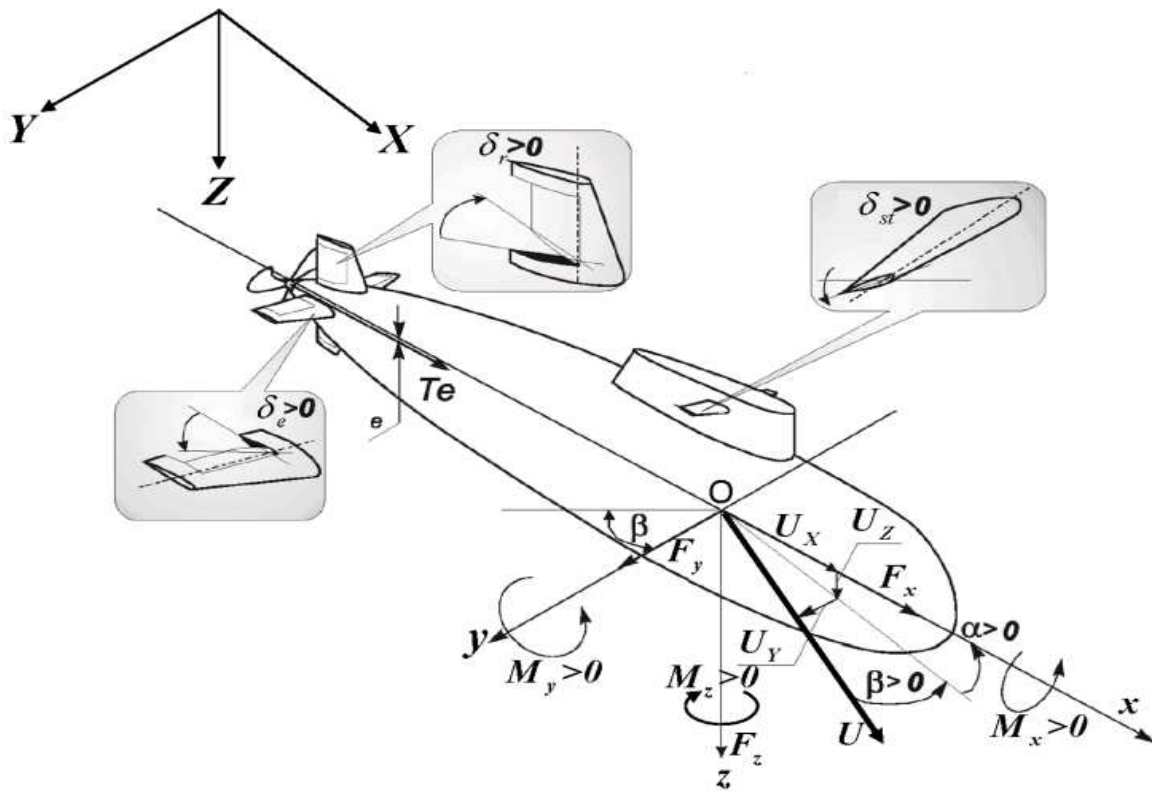
در بیشتر تحقیقات تحلیل‌های دینامیک زیردریایی، مانورهایی بحث شده‌اند که حرکت زیردریایی فقط تحت تأثیر سطوح کنترلی آن واقع شده و تنها تعداد محدودی از محققین، صعود زیردریایی توسط مخازن ثابت شناوری (مخازن بالاست اصلی) را مورد مطالعه قرار داده‌اند. در صورتی که باید توجه داشت در مانور صعود اضطراری، مخازن بالاست اصلی نقش بسیار موثری بر رفتار زیردریایی دارد. این مخازن به صورت طولی در زیردریایی قرار گرفته و با آب گیری مخازن، وزن زیردریایی بر نیروی شناوری غلبه کرده و باعث می‌شود زیردریایی به زیر آب رود. در صعودهای سریع و اضطراری، هوا فشرده شده به داخل مخازن بالاست دمیده شده و این موجب غلبه‌ی نیروی شناوری بر نیروی وزن می‌گردد و زیردریایی به سطح آب صعود می‌کند.

بتل^۱ و همکارانش مقدار چرخش زیردریایی حول محور طولی را در حین حرکت صعود برای زیردریایی‌های کوچک بررسی کرده‌اند [۹]. آنها معادلات ناویر استوکس را با استفاده از روش‌های دینامیک سیالات محاسباتی حل کردند و اثرات متقابل سیال و جامد را به دست آوردند و چرخش زیردریایی حول محور طولی در حالت‌های مختلف صعود را بررسی نمودند. فونت^۲ و همکارانش فرایند تخلیه و پر شدن مخازن بالاست را به صورت ریاضی مدل کردند [۱۰]. آنها همچنین چرخش زیردریایی حول محورهای طولی و جانبی در هنگام صعود به سطح را کنترل کردند [۱۱ و ۱۲].

۳- نیروهای خارجی

نیروهای هیدرودینامیکی وارد بر زیردریایی شامل نیروها و گشتاورهای هیدرودینامیکی بدن، سطوح کنترل و جرم افزوده می‌باشند. نیروها و گشتاورهای هیدرودینامیکی، تابعی از زاویه حمله (α)، زاویه دریفت (β) و سرعت زیردریایی (U) می‌باشند. برای تمایز دادن نیروها از زیرنویس‌های H برای نیروها و گشتاورهای هیدرودینامیکی بدن، A برای نیروها و گشتاورهای

¹ Bettle² Font



شکل ۱- مدل یک زیردریایی

$$F_y^r = \frac{1}{2} \rho U^2 \nabla^{2/3} \sigma_y^r \quad \& \quad F_z^q = \frac{1}{2} \rho U^2 \nabla^{2/3} \sigma_z^q \quad (3)$$

$$M_y^q = \frac{1}{2} \rho U^2 \nabla \tau_y^q \quad \& \quad M_z^r = \frac{1}{2} \rho U^2 \nabla \tau_z^r \quad (4)$$

که σ_y^r ، σ_z^q و τ_y^r ، τ_z^q ضرایب هیدرودینامیکی مربوط به اثرات هیدرودینامیکی متقابل هستند. اولین معادله (۳)، مربوط به نیروی راستای محور y ناشی از چرخش حول محور Z دومین معادله (۴)، نیروی راستای محور Z ناشی از چرخش حول محور y می‌باشد. همچنین در معادله (۴) گشتاور حول محورهای y و Z در اثر چرخش حول محورهای y و Z به ترتیب به دست آمده‌اند.

۲-۳ نیروهای سطوح کنترلی

سطوح کنترلی شامل سطوح کنترلی افقی و عمودی عقب و سطوح پایدار کننده می‌باشند. نیروهای این سطوح کنترلی از روابط (۵) و (۶) محاسبه شده‌اند.

$$F_C = \frac{1}{2} \rho U^2 \nabla^{2/3} (\sigma_{C_r} + \sigma_{C_e} + \sigma_{C_{st}}) \quad (5)$$

$$M_C = \frac{1}{2} \rho U^2 \nabla (\tau_{C_r} + \tau_{C_e} + \tau_{C_{st}}) \quad (6)$$

که پانویس‌های r ، e و st به ترتیب برای سطوح کنترلی عمودی عقب، افقی عقب و پایدار کننده استفاده شده‌اند. لازم به ذکر

ناشی از جرم افزوده، C برای نیروها و ممانهای حاصل از سطوح کنترلی و P برای نیرو و ممان حاصل از پیشرانش استفاده شده است.

۳-۱ نیروهای هیدرودینامیکی بدن

نیروهای برا و پسا وارد بر زیردریایی، نیروها و گشتاورهای هیدرودینامیکی بدن را ایجاد می‌کنند. به همین دلیل این نیروها با محدود سرعت متناسب هستند. لذا در دستگاه بدنی،

$$\mathbf{M}_H = \frac{\rho U^2 \nabla \tau_H}{2} \quad \& \quad \mathbf{F}_H = \frac{\rho U^2 \nabla^{2/3} \sigma_H}{2}$$

نیرو و گشتاور هیدرودینامیکی بدن در نظر گرفته می‌شوند. که $\tau_H = [\tau_{H,x} \ \tau_{H,y} \ \tau_{H,z}]^T$ و $\sigma_H = [\sigma_{H,x} \ \sigma_{H,y} \ \sigma_{H,z}]^T$ شامل ضرایب هیدرودینامیکی بدن می‌باشند. این ضرایب بی‌بعد هستند و به صورت تابعی از زاویه‌های حمله، دریفت و سرعت زیردریایی با استفاده از روش‌های تجربی محاسبه می‌شوند. همچنین U اندازه بردار سرعت زیردریایی و ∇ حجم آب جابجا شده می‌باشد.

علاوه بر نیروها و ممانهای هیدرودینامیکی که توسط نیروهای برا و پسا بدن ایجاد می‌شوند، نیروها و ممانهای دیگری وجود دارد که در اثر چرخش زیردریایی بوجود می‌آیند.

این نیروها و ممانهای هیدرودینامیکی از روابط (۳) و (۴) محاسبه گردیده است.

است ضرایب هیدرودینامیکی مربوط به سطوح کنترلی تابعی از زاویه‌های سطوح کنترلی و سرعت زیردریایی می‌باشند.

که \mathbf{r}_G و \mathbf{r}_B به ترتیب بردارهای موقعیت مرکز جرم و مرکز شناوری نسبت به مرکز دستگاه بدنی هستند.

۶-۳ برآیند نیروها و گشتاورهای خارجی وارد بر زیردریایی

با در نظر گرفتن نیروها و گشتاورهای هیدرودینامیکی که در قسمت‌های ۱-۳ تا ۵-۳ ارائه شدند، بردارهای نیرو و گشتاور خارجی وارد بر زیردریایی به صورت رابطه (۹) خلاصه می‌شوند.

$$\begin{aligned} \mathbf{F}_o &= \frac{1}{2}(\sigma_H + \sigma_{C_r} + \sigma_{C_e} + \sigma_{C_{st}} + \\ &\quad \sigma^\omega) U^2 \rho V^{(2/3)} + \mathbf{F}_A + \mathbf{F}_w + \mathbf{F}_P \\ \mathbf{M}_o &= \frac{1}{2}(\tau_H + \tau_{C_r} + \tau_{C_e} + \tau_{C_{st}} + \\ &\quad \tau^\omega) U^2 \rho V + \mathbf{M}_A + \mathbf{M}_w + \mathbf{M}_P \end{aligned} \quad (9)$$

معادلات ذکر شده در رابطه (۹) در حالت کلی تابعی از سرعت خطی و زاویه‌ای، شتاب خطی و زاویه‌ای، زاویه‌های اویلر، زاویه‌های حمله، دریافت و سطوح کنترلی می‌باشند. به عبارتی مولفه ۱ ام نیرو و گشتاور خارجی وارد بر زیردریایی بطور فشرده مطابق روابط (۱۰) و (۱۱) خواهد بود.

$$\begin{aligned} F_i &= F_i(\boldsymbol{\Pi}, \dot{\boldsymbol{\Pi}}, \boldsymbol{\eta}, \alpha, \beta, \delta_r, \delta_e, \delta_{st}) \\ &\quad \& i=1,2,3 \end{aligned} \quad (10)$$

$$\begin{aligned} M_i &= M_i(\boldsymbol{\Pi}, \dot{\boldsymbol{\Pi}}, \boldsymbol{\eta}, \alpha, \beta, \delta_r, \delta_e, \delta_{st}) \\ &\quad \& i=1,2,3 \end{aligned} \quad (11)$$

که $\boldsymbol{\eta} = [\varphi, \theta, \psi]^T$.

۴-۱ مدل تخلیه مخازن بالاست

مخازن بالاست اصلی وظیفه تغییر عمق سریع زیردریایی را به عهده دارند. با پر شدن این مخازن نیروی وزن بر نیروی شناوری غلبه کرده و زیردریایی غوص می‌کند و با دمیدن هوای پر فشار در این مخازن، آب داخل مخازن خالی شده و نیروی شناوری بر نیروی وزن غلبه می‌کند در این هنگام زیردریایی به سطح نزدیک شده و حرکت صعود سریع را انجام می‌شود. برای دقیق بودن مدل دینامیکی شش درجه آزادی زیردریایی، بایستی تغییرات وزن و شناوری با توجه به فرآیند دمیدن هوا در آنها به دست آید [۱۲].

۴-۲ تغییرات جرم در زمان دمیدن هوا

در بیشتر زیردریایی‌ها چندین مخزن بالاست به صورت طولی توزیع شده‌اند که به صورت مستقل یا وابسته پر و خالی می‌شوند. مخازن بالاست جلو بزرگتر از مخازن عقب بوده و بنابراین پیشانی زیردریایی سریعتر از دم آن صعود می‌کند. برای صعودهای اضطراری ابتدا در مخازن جلو هوا دمیده می‌شود و

۳-۳ نیروهای ناشی از جرم افزوده

نیروهای ناشی از جرم اضافه در اثر اینترسی سیال احاطه کننده از جانب سیال هیدرودینامیکی در جهت مخالف و مناسب با شتاب ایجاد می‌شوند [۱۴].

برای زیردریایی فرض می‌شود ضرایب ماتریس جرم افزوده ثابت هستند. بنابراین با این فرض با استفاده از مفهوم انرژی جنبشی سیال و معادلات کیرشهف^۱ نیروهای ناشی از جرم افزوده به دست می‌آیند [۱۵]. در معادلات (۷) و (۸) به ترتیب مولفه ۱ ام نیروهای ناشی از جرم اضافه و مولفه ۲ ام گشتاور ناشی از جرم اضافه بیان شده‌اند.

$$F_{A_j} = -\dot{\Pi}_i m_{A_{ij}} - \mathcal{E}_{jkl} \Pi_i \omega_k m_{A_{lj}} \quad (7)$$

$$\begin{aligned} M_{A_j} &= -\dot{\Pi}_i m_{A_{j+3,i}} - \mathcal{E}_{jkl} \Pi_i \omega_k m_{A_{l+3,i}} - \\ &\quad \mathcal{E}_{jkl} \Pi_k \Pi_l m_{A_{l,i}} \end{aligned} \quad (8)$$

که $j, k, l = 1, 2, 3$ و $i = 1, 2, 3, 4, 5, 6$ در معادلات (۷) و (۸) استفاده می‌شوند. همچنین \mathcal{E}_{jkl} و $m_{A_{ij}}$ به ترتیب نشان دهنده‌ی عناصر تانسور جایگشت و ماتریس جرم افزوده هستند.

۴-۴ نیروهای پیشران

اگر سیستم پیشران، خارج از مرکزی نداشته باشد، سیستم پیشران نیرو و گشتاوری حول محور طولی زیردریایی ایجاد می‌کند که به ترتیب از $F_{P_x} = K_T \rho n^2 d_p^4$ و $K_Q \rho n^2 d_p^5$ به دست می‌آیند. که K_T و K_Q ضرایب بدون بعد سیستم پیشران هستند و دور و قطر پروانه به ترتیب با n و d_p نشان داده شده‌اند. اگر سیستم پیشران، خارج از مرکزی e داشته باشد (به شکل ۱ مراجعه شود) در این صورت گشتاور $M_{P_y} = F_{P_x} e$ نیز به معادلات اضافه می‌شود.

۵-۳ نیروهای جاذبه و شناوری

نیروهای شناوری و جاذبه همواره در راستای عمودی هستند. از آنجایی که معادلات حرکت در دستگاه محلی بیان شده‌اند، بنابراین این نیروها با استفاده از زاویه‌های اویلر به دستگاه بدنی منتقل می‌شوند. از این رو برآیند این نیروها ($\mathbf{F}_w = \mathbf{W} + \mathbf{B}$) در دستگاه بدنی تابعی از زاویه‌های اویلر خواهد بود. همچنین گشتاور حاصل از این نیروها حول مرکز دستگاه مختصات بدنی به صورت $\mathbf{M}_w = \mathbf{r}_G \times \mathbf{W} + \mathbf{r}_B \times \mathbf{B}$ محاسبه می‌شوند.

^۱ Kirechhoff

باید توجه داشت فاصله بین مرکز شناوری و مرکز جرم قبل از شروع تخلیه مخازن ($\overline{BG_0}$) همواره ثابت است. در صورتی که در حین خالی شدن مخازن مقدار z_μ منفی می‌شود و فاصله بین مرکز شناوری و مرکز جرم در حین تخلیه مخازن افزایش پیدا می‌کند. با خالی شدن آب مخازن بالاست، ممان‌های اینرسی نیز تغییر می‌کنند. این تغییرات در فرآیند دمیدن کوچک هستند ولی به منظور درنظر گرفتن این تغییرات در مدل دینامیکی، از رابطه (۱۶) برای محاسبه ماتریس ممان اینرسی در حین تخلیه مخازن استفاده شده است.

$$\mathbf{I} = \mathbf{I}_0 - \begin{bmatrix} \mu m_0 z_\mu^2 & 0 & 0 \\ 0 & \mu m_0 (z_\mu^2 + x_\mu^2) & 0 \\ 0 & 0 & \mu m_0 x_\mu^2 \end{bmatrix} \quad (16)$$

که ماتریس ممان اینرسی قبل از فرآیند تخلیه (\mathbf{I}_0) همواره ثابت است.

۲-۴- مدل سازی فرآیند دمیدن هوا به داخل مخازن
مدل سازی برای مخازن بالاست نیازمند دانش کاملی از حجم هوا در مخازن شناوری V_{ai} است. این حجم تابعی از زمان، موقعیت مخازن، عمق و زاویه پیچ است. زیردریایی‌ها معمولاً دارای مخزن ذخیره کننده هوا فشار بالا می‌باشند که توسط نازل‌هایی مخازن بالاست را تغذیه می‌کنند. با استفاده از تئوری جریان تراکم پذیر، آیزنتروپیک، یک بعدی و بیشینه سرعت (یک ماخ) چگالی هوا فشرده به صورت معادله (۱۷) پیش‌بینی شده است.

$$\rho_r(t) = \rho_{r0} \left[1 - \frac{k-1}{2} C_1(t-t_0) \right]^{\frac{2}{1-k}} \quad (17)$$

که زمان آغاز دمیدن، k ثابتی وابسته به سیال تراکم پذیر است. همچنین C_1 ثابتی وابسته به خصوصیات قطر نازل D و هوا فشرده شده است که از رابطه $C_1 = \frac{1}{\rho_{r0}} \frac{d\rho_r}{dt} \Big|_D$ به دست آمده است.

در ادامه فرض می‌شود شدت جریان جرم از مخازن ذخیره هوا متناسب با جرم خالی شده در مخازن هوا باشد که این مقدار معادل با $k=1$ در معادله (۱۷) است، از این رو چگالی هوا فشرده به صورت $\rho_r(t) = \rho_{r0} e^{C_1(t-t_0)}$ در نظر گرفته می‌شود. در نتیجه جرم کل هوا (m_a) در مخازن بالاست معادل با جرم هوا افزایش شده از مخزن ذخیره هوا و مجموع جرم هوا در مخازن از رابطه (۱۸) به دست می‌آید.

$$m_a = m_{r0} \left(1 - e^{C_1(t-t_0)} \right) = \sum_{i=1}^N m_{ai} \quad (18)$$

بعد از اینکه پیشانی شروع به صعود کرد عملیات دمیدن در مخازن عقب آغاز می‌شود. کلیه مخازن در خط مرکزی بدنه قرار گرفته‌اند و مرکز جرم دمیده شده به صورت (x_μ, y_μ, z_μ) (تعریف می‌شود که جلوتر از مرکز شناوری قرار دارد. با در نظر گرفتن N مخزن بالاست، حجم کلی مخازن $x_{Ti} = \sum_{i=1}^N V_{Ti}$ خواهد بود و مرکزیت محوری هر مخزن در x_{Ti} قرار دارد. همچنین کسر جرم دمیده شده به صورت $\mu = \frac{W_0 - W}{B} = \frac{\rho g V_a}{B} = \frac{\rho g}{B} \sum_{i=1}^N V_{ai}$ می‌شود. که W_0 وزن اصلی زیردریایی به علاوه وزن مخازن بالاست پر از آب، W وزن واقعی زیردریایی، ρ چگالی آب، B نیروی شناوری، V_a حجم کل هوا در مخازن و V_{ai} حجم هوا در مخزن بالاست آم است. در لحظه‌ای که فرآیند دمیدن در مخازن آغاز می‌شود V_{ai} صفر است و زمانی که آب مخازن خالی می‌شود $V_{ai} = V_{Ti}$ است. از این رو موقعیت طولی کسر جرم دمیده شده طبق رابطه (۱۲) محاسبه می‌شود.

$$x_\mu = \frac{1}{\mu} \sum_{i=0}^N x_{\mu i} \mu_i = \frac{1}{V_a} \sum_{i=0}^N x_{Ti} V_{ai} \quad (12)$$

مرکزیت عمودی z_μ وابسته به مرکزیت عمودی مخازن است. در حالت غوطه‌وری کامل که $\mu=0$ است، z_μ دارای مقدار اولیه تقریباً نزدیک بالای بدنه است و زمانی که به سطح می‌آید ($\mu > 0$) مخازن خالی شده و z_μ روی خط مرکزی زیردریایی قرار می‌گیرد. در بیشتر زیردریایی‌ها z_μ اولیه ۰.۹۰٪ بیشینه شعاع بدنه / ۲ است. از این رو z_μ مطابق رابطه (۱۳) در نظر گرفته می‌شود.

$$z_\mu = \frac{1}{\mu} \sum_{i=0}^N z_{\mu i} \mu_i = \frac{-0.45d}{V_a} \sum_{i=0}^N \left(1 - \frac{V_{ai}}{V_{Ti}} \right) V_{ai} \quad (13)$$

علاوه بر آن چون مخازن بالاست نسبت به صفحه قائم مقارن هستند موقعیت جانبی مرکز مخازن روی خط مرکزی قرار می‌گیرد ($y_\mu = 0$).

با توجه به اینکه X_B با خالی شدن مخازن تغییری نمی‌کند، ارتباط بین موقعیت مرکز جرم (x_G, z_G) و مرکز کسر جرم دمیده شده (x_μ, z_μ)، با گرفتن ممان حول محورهای دستگاه بدنه به دست می‌آید.

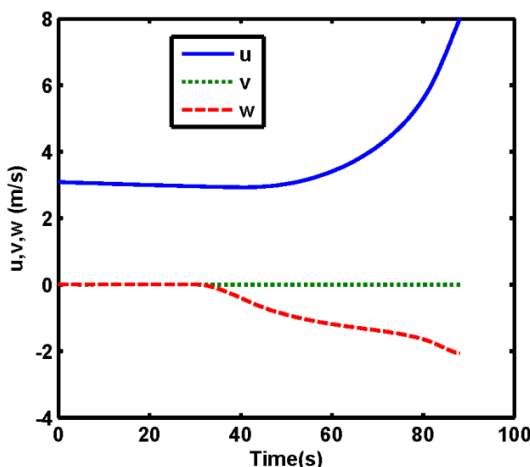
$$x_G = \left(X_B - \frac{\mu B}{W_0} x_\mu \right) \left(1 - \frac{\mu B}{W_0} \right)^{-1} \quad (14)$$

$$z_G = \left(z_B + \overline{BG_0} - \frac{\mu B}{W_0} z_\mu \right) \left(1 - \frac{\mu B}{W_0} \right)^{-1} \quad (15)$$

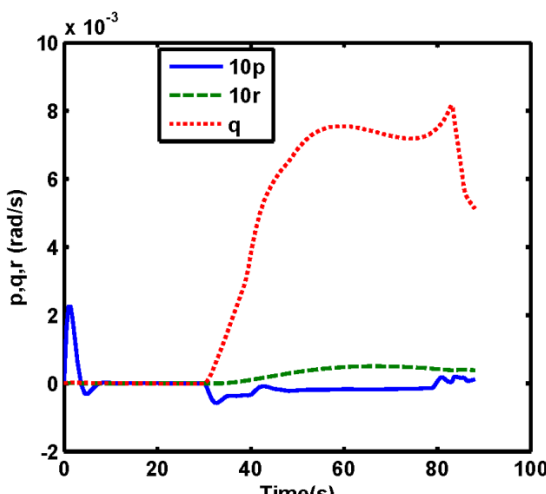
۱-۵- صعود اضطراری بدون تغییر سطوح کنترلی

در این حالت فرض شده زیردریایی در عمق ۱۰۰ متری در حرکت است. بعد از گذشت ۳۰ ثانیه، فرآیند تخلیه مخازن شروع می‌شود و زیردریایی تنها در اثر شناوری مثبت ایجاد شده بالا رود.

در شکل ۲ تغییرات سرعت‌های خطی برای این حالت نشان داده شده است. سرعت سرچ (u) در حین تخلیه مخازن افزایش می‌باید، همچنان سرعت هیو (W) به سمت سطح در حال افزایش است. این تغییرات بدلیل زاویه پیچ مثبت و غلبه نیروی شناوری بر نیروی وزن است. در شکل ۳ نمودار سرعت‌های زاویه‌ای زیردریایی نشان داده شده است. همانطور که انتظار داشتیم در حین بالا آمدن زیردریایی، تنها سرعت زاویه‌ای حول محور جانبی (q) تغییرات چشمگیری دارد.



شکل ۲- مولفه‌های سرعت خطی در صعود اضطراری(حالت الف)



شکل ۳- مولفه‌های سرعت زاویه‌ای در صعود اضطراری(حالت الف)

در شکل ۴ موقعیت زیردریایی در دستگاه اینرسی آورده شده است. این نمودار بیان کننده آن است که زیردریایی در حین تخلیه مخازن به سمت بالا حرکت می‌کند و به سطح آب

در نتیجه جرم هوا در هر مخزن به صورت $m_{ai} = \frac{m_a V_{Ti}}{V_T}$

محاسبه می‌شود و $p_{ai} = p_{at} + \rho g z_{wi} = \rho_{ai} RT$ فشار هوای مخزن ۱ ام را توصیف می‌کند. که p_{at} فشار اتمسفر، z_{wi} عمق مخازن در زیر آب (تا سطح آب)، ρ_{ai} چگالی هوا در مخازن، R ثابت گاز برای هوا و T دمای هوا در مخازن است. حجم هوا در هر مخزن از رابطه (۱۹) به دست آمده است.

$$V_{ai} = \frac{m_{ai}}{\rho_{ai}} \quad (19)$$

$$= \frac{m_{r0}}{(p_{at} + \rho g z_{wi}) V_T} \left(1 - e^{C_1(t-t_0)}\right) R T V_{Ti}$$

در حالتی که زیردریایی دچار پیچش θ می‌شود، مقدار z_{wi} برای مخازن مختلف متفاوت بوده و به حجم هوا در هر مخزن وابسته است.

$$z_{wi} = z_0 - x_{Ti} \sin \theta$$

$$- 0.45 d \cos \theta \left(1 - \frac{2V_{ai}}{V_{Ti}}\right) \quad (20)$$

رابطه (۲۰) برای $z_{wi} > 0$ برقرار بوده و با جایگزینی این رابطه در معادله (۱۹)، حجم هوای مخزن ۱ ام محاسبه می‌شود.

$$V_{ai} = V_{Ti} \left(\Gamma_2 + \left[\Gamma_2^2 + \Gamma_3 \right]^{1/2} \right) \quad (21)$$

$$\Gamma_2 = \frac{-p_{at} - \rho g (z_0 - x_{Ti} \sin \theta - 0.45 d \cos \theta)}{1.8 \rho g d \cos \theta} \quad (22)$$

$$\Gamma_3 = \frac{m_{r0} R T (1 - e^{C_1(t-t_0)})}{0.9 \rho g V_T \cos \theta} \quad (23)$$

بدین ترتیب میزان حجم آب داخل مخازن قابل محاسبه بوده و برای مدل‌سازی فرایند پُر و خالی شدن مخازن بالاست، جرم کل زیردریایی به صورت متغیر در مدل دینامیکی زیردریایی لحاظ شده است.

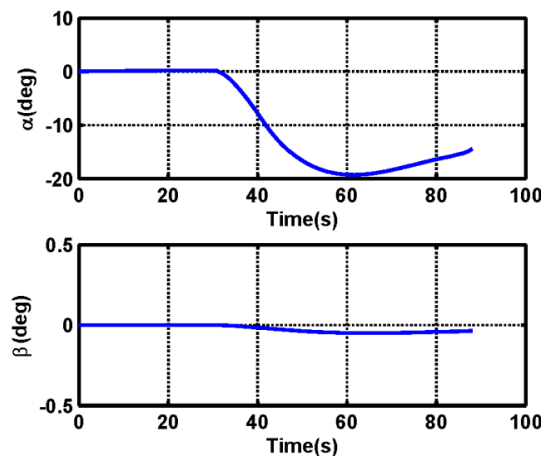
۵- نتایج شبیه‌سازی

شبیه‌سازی‌ها برای یک زیردریایی نمونه به وزن ۶۰۰ تن و طول ۴۳ متر انجام شده است. ابتدا با استفاده از روش‌های دینامیک سیالات محاسباتی، ضرایب هیدرودینامیکی این زیردریایی برای زاویه‌های حمله و دریفت مختلف محاسبه شده و سپس در معادلات دینامیکی از آنها استفاده گردیده است.

زیردریایی دارای چهار مخزن بالاست که مخازن یک و دو در جلو و مخازن سه و چهار در عقب مرکز زیردریایی قرار گرفته‌اند. در ادامه نتایج شبیه‌سازی مانور صعود اضطراری برای دو حالت ارائه گردیده است.

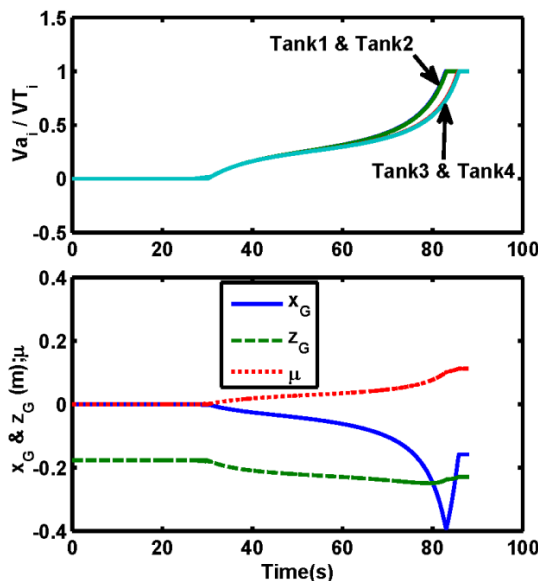
حالت (الف) صعود اضطراری بدون تغییر سطوح کنترلی

حالت (ب) صعود اضطراری با تغییر سطوح کنترلی



شکل ۶- زوایای حمله و لغزش جانبی در صعود اضطراری(حالات الف)

در شکل ۷ نمودار نسبت حجم هوا به حجم هر مخزن، کسر جرم دمیده شده (μ) و موقعیت مرکز جرم زیردریایی در دستگاه مختصات بدنی ارائه شده است. حین صعود دو مخزن جلویی زودتر از دو مخزن عقب تخلیه شده است. این تأخیر در تخلیه مخازن باعث می‌شود که منحنی موقعیت مرکز جرم یکنواخت نباشد بطوری که این عدم یکنواختی در موقعیت طولی به خوبی قابل مشاهده است.



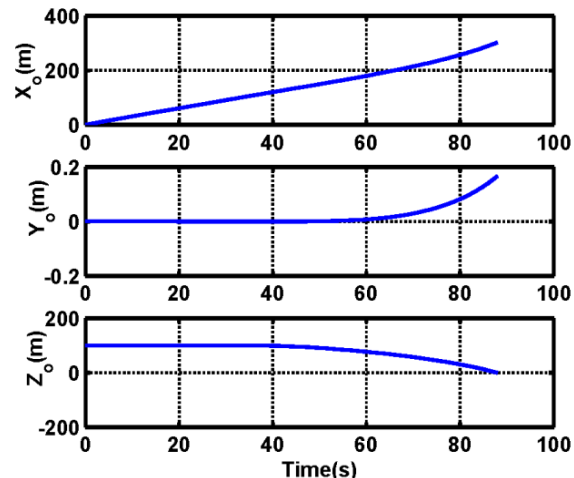
شکل ۷- نسبت حجم هوا به حجم هر مخزن(بالا)، کسر جرم دمیده شده در مخازن بالاست و موقعیت مرکز جرم در دستگاه مختصات بدنی (پایین)

۲-۵- صعود اضطراری با تغییر سطوح کنترلی

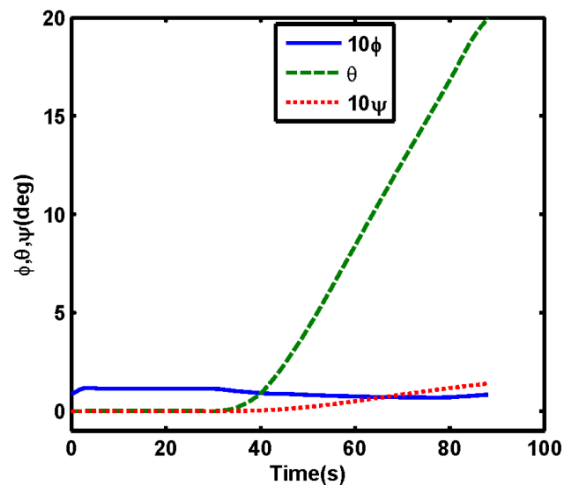
در این قسمت فرض می‌شود برای حالت اضطراری زیردریایی اقدام به صعود کند و علاوه بر مخازن بالاست، سطوح کنترلی نیز مورد استفاده قرار گیرند.

نزدیک می‌شود و تغییرات ناچیزی در حرکت جانبی دارد. نمودار زاویه‌های اویلر در شکل ۵ نشان می‌دهد که زیردریایی در حین صعود از زاویه پیچ صفر با یک شیب تقریباً ثابت به سطح آب نزدیک می‌شود و به مقدار ۲۰ درجه می‌رسد.

شکل ۶ تغییرات زاویه حمله و زاویه دریفت را نشان می‌دهد. همانطور که از این شکل برمی‌آید شناوری مثبت باعث شده زاویه حمله مقدار قابل توجهی در حین مانور صعود داشته باشد.

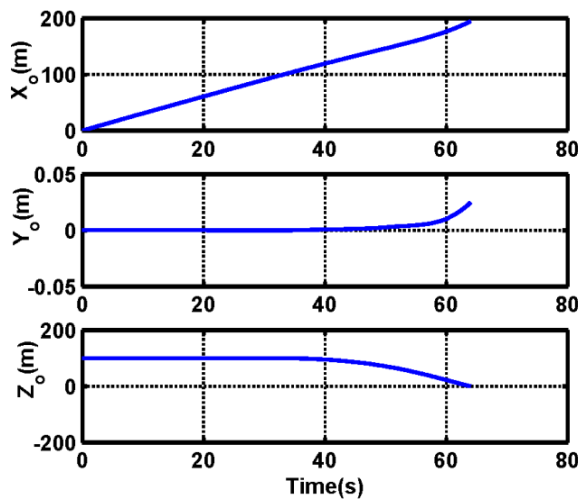


شکل ۴- تغییرات مختصات موقعیت مبدأ دستگاه مختصات محلی در صعود اضطراری(حالات الف)

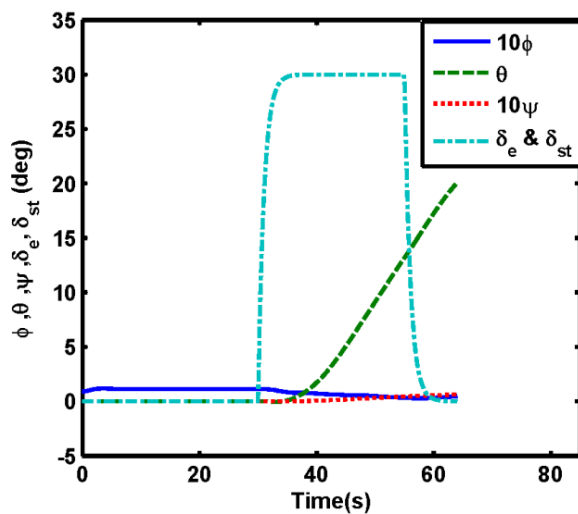


شکل ۵- زوایای اویلر در صعود اضطراری(حالات الف)

در شکل ۱۰ موقعیت زیردریایی نشان داده شده است که در مقایسه با شکل ۴ نشان می‌دهد زیردریایی در این حالت ۲۴ ثانیه زودتر به سطح می‌رسد. در شکل ۱۱ زوایای اوبلر و انحرافات سطوح کنترلی ارائه شده است. تغییر بالکهای افقی مطابق شکل ۱۱ باعث می‌شود که نیروی برازید شده و زیردریایی با زاویه حمله بیشتری به سطح نزدیک شود. بیشتر شدن زاویه حمله را می‌توان با مقایسه شکل ۱۲ و شکل ۶ استنباط کرد.



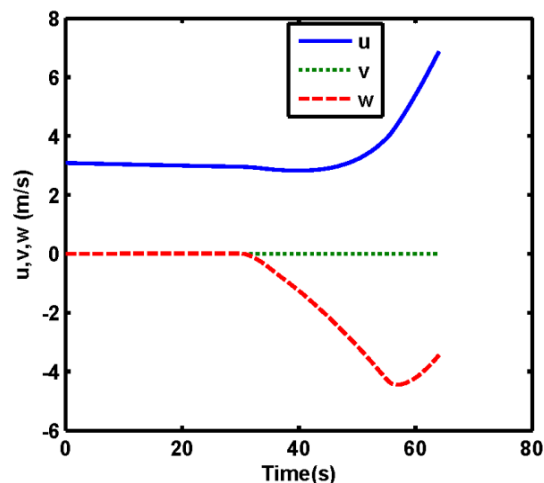
شکل ۱۰- تغییرات مختصات موقعیت مبداء دستگاه مختصات محلی در صعود اضطراری(حالت ب)



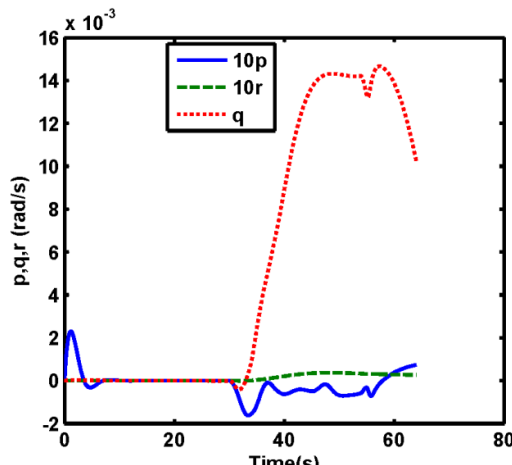
شکل ۱۱- زوایای اوبلر و انحرافات سطوح کنترلی در صعود اضطراری(حالت ب)

همانند حالت قبل فرض می‌شود زیردریایی در عمق ۱۰۰ متری در حرکت است. بعد از ۳۰ ثانیه حرکت در این عمق مانور صعود اضطراری شروع می‌شود. همزمان با تخلیه مخازن بالاست، سطوح کنترلی افقی نیز شروع به چرخش می‌کنند. همچنین در این حالت فشار هوای ورودی به مخازن دوباره حالت قبل در نظر گرفته می‌شود. در شکل ۸ سرعت‌های خطی زیردریایی در طی زمان تخلیه نشان داده شده است. با مقایسه شکل ۸ و شکل ۲، مشاهده می‌شود که در این حالت سرعت زیردریایی بیشتر از حالت قبل است در صورتی که سرعت اولیه برای هر دو حالت یکسان است.

در شکل ۹ مولفه‌های سرعت زاویه‌ای زیردریایی آورده شده است که در مقایسه با شکل ۳ معلوم است مولفه سرعت زاویه‌ای حول محور جانبی بطور قابل توجهی در این حالت بیشتر است و بیانگر آن است که در این حالت جهت زیردریایی سریعتر به سمت بالا حرکت می‌کند.



شکل ۸- مولفه‌های سرعت خطی در صعود اضطراری(حالت ب)



شکل ۹- مولفه‌های سرعت زاویه‌ای در صعود اضطراری(حالت ب)

از زاویه سطوح کنترلی افقی عقب (δ_e)، سرعت اولیه زیردریایی (U_0)، ثابت C_1 و فشار هوای داخل مخازن در هنگام تخلیه کامل (P). به منظور مقایسه تأثیر هر کدام از این پارامترها با یکدیگر، نتایج شبیه‌سازی‌ها در جدول ۱ ارائه شده است.

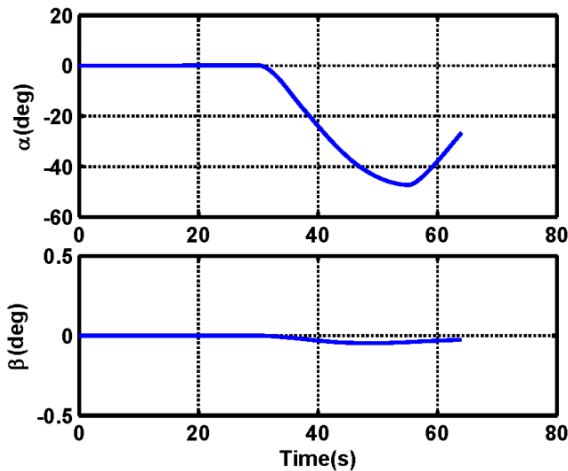
جدول ۱- مشخصه‌های صعود اضطراری

$T_{h=0}$ (s)	$\min(\alpha)$ (deg)	α_f (deg)	θ_f (deg)	$T_4(s)$	$T_3(s)$	$T_2(s)$	$T_1(s)$	
۸۷,۸۰	-۱۹,۲۸	-۱۵,۲۶	۱۹,۳۲	۸۵,۹۰	۸۵,۷۱	۸۳,۱۶	۸۲,۹۵	حالات الف
۸۹,۱۰	-۱۵,۷۴	-۱۰,۵۲	۲۶,۳۴	۸۷,۷۶	۸۷,۵۳	۸۴,۲۸	۸۴,۰۵	-۲۵
۸۱,۴۰	-۳۲,۷۶	-۳۰,۴۸	۱۸,۵۶	۷۹,۶۶	۷۹,۵۲	۷۷,۴۰	۷۷,۲۴	۲۵
۸۶,۲۰	-۲۱,۶۴	-۱۵,۰۸	۲۰,۷۳	۸۴,۴۷	۸۴,۲۶	۸۱,۵۹	۸۱,۴۰	۲۰
۹۱,۷۰	-۱۵,۵۵	-۱۵,۴۵	۱۶,۱۷	۸۹,۳۶	۸۹,۱۸	۸۶,۷۷	۸۶,۶۹	۵/۰۰
۹۴,۴۰	۱۵,۲۳	-۱۵,۲۲	۱۴,۲۴	۹۱,۷۸	۹۱,۷۰	۸۹,۴۴	۸۹,۲۸	۷,۵۰
۹۴,۵۰	-۱۸,۱۹	-۱۵,۴۲	۱۹,۴۳	۹۲,۸۹	۹۲,۶۸	۹۰,۰۷	۸۹,۸۸	۰,۰۵
۸۵,۳۰	-۱۹,۷۰	-۱۵,۱۹	۱۹,۲۹	۸۳,۲۹	۸۳,۱۲	۸۰,۵۸	۸۰,۳۷	۰,۱۵
۹۲,۷۰	-۱۷,۸۳	-۱۵,۰۶	۱۹,۶۹	۹۱,۸۹	۹۱,۶۷	۸۸,۹۸	۸۸,۸۰	۲,۵۰
۸۳,۹۰	-۲۰,۷۸	-۱۵,۵۹	۱۸,۹۹	۸۰,۹۸	۸۰,۷۹	۷۸,۲۷	۷۸,۱۰	۳,۵۰

نتایج مانور صعود اضطراری (حالات الف) در سطر اول داده‌های جدول ۱ ارائه شده است. در این حالت زاویه سطوح کنترلی صفر، سرعت اولیه ۳ متر بر ثانیه، $C_1 = 0.1$ و فشار هوای داخل مخازن در هنگام تخلیه کامل ۳ بار است. در تمامی شبیه‌سازی‌ها زمان شروع تخلیه مخازن از ثانیه‌ی ۳۰ می‌باشد. در جدول ۱، T_i نشان دهنده زمان تخلیه کامل مخزن آم است و اندیس f برای نشان دادن مقدار پارامتر (پیچ، زاویه حمله) در زمان خالی شدن همه‌ی مخازن استفاده شده است. همچنین در ستون آخر زمان لازم برای رسیدن به سطح آمده است. نتایج شبیه‌سازی‌های ارائه شده در جدول ۱ نشان می‌دهند که:

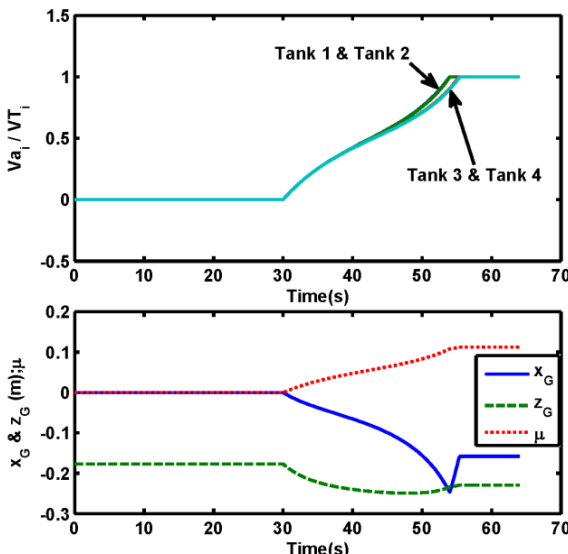
۱) با افزایش زاویه سطوح کنترلی عقب در جهت مثبت، نیروی برآ افزایش می‌باید و در نتیجه زاویه حمله زیاد شده و زمان رسیدن به سطح را کاهش می‌دهد. دقت شود در این حالت، ممان حول محور جانبه در جهت منفی افزایش می‌باید و همین امر باعث کاهش مقدار θ می‌شود. همچنین از آنجایی که فرآیند تخلیه مخازن تابعی از عمق است لذا در این حالت زمان تخلیه مخازن کاهش می‌باید.

برخلاف این حالت، در صورتیکه زاویه سطوح کنترلی افقی عقب در جهت منفی افزایش می‌باید زاویه حمله کمتر شده و در نتیجه زمان رسیدن به سطح افزایش می‌باید و زمان تخلیه مخازن افزایش می‌باید. همچنین با توجه به افزایش ممان مثبت حول محور جانبه مقدار θ در این حالت زیاد می‌شود. به همین علت است که در زیردریایی‌ها برای کنترل زاویه حمله در هنگام صعود اضطراری توسط فرآیند تخلیه مخازن بالاست از سطوح کنترلی افقی استفاده می‌شود.



شکل ۱۲- زوایای حمله و لغزش جانبی در صعود اضطراری (حالات ب)

نسبت حجم هوا به حجم هر مخزن در طول حرکت در شکل ۱۳ نشان داده شده است که در مقایسه با حالت الف، مخازن بالاست تقریباً ۳۰ ثانیه زودتر خالی می‌شوند. همین امر باعث می‌شود که انحراف موقعیت مرکز جرم زیردریایی از موقعیت نهایی خود در این حالت کمتر باشد بطوری که این انحراف برای درستی حدود ۳۸ درصد حالت الف است. باید توجه داشت که چون مقدار آب تخلیه شده در هر دو مخازن نهایی مرکز جرم زیردریایی نیز در هر دو حالت یکسان خواهد بود.



شکل ۱۳- نسبت حجم هوا به حجم هر مخزن (بالا)، کسر جرم دمیده شده در مخازن بالاست و موقعیت مرکز جرم در دستگاه مختصات بدنی (پایین)

۳- بررسی پارامترهای تأثیرگذار بر صعود اضطراری در این قسمت تأثیر برخی از پارامترهای مهم بر رفتار زیردریایی در مانور صعود بررسی می‌شود. این پارامترها عبارتند

ماتریس ممان اینرسی حول مبداء دستگاه بدنی	I_o	۲) اگر فرآیند تخلیه مخازن در سرعت اولیه بالاتری شروع شود زاویه حمله در طول حرکت کمتر می‌شود و در نتیجه زمان رسیدن به سطح افزایش می‌یابد. همچنین زمان تخلیه کامل مخازن افزایش پیدا می‌کند.
ضریب نیروی تولیدی پروانه	K_T	۳) اگر خصوصیات قطر نازل و هوای فشرده بگونه‌ای باشند که مقادیر ثابت C_1 افزایش یابد زمان تخلیه مخازن کاهش می‌یابد و زاویه حمله در حین حرکت افزایش یافته و در نتیجه زمان رسیدن به سطح کمتر می‌شود. همچنین تغییر این پارامتر اثر قابل توجهی روی مقدار پیچ نهایی زیردریایی ندارد.
ضریب گشتاور تولیدی پروانه	K_Q	۴) افزایش فشار هوای داخل مخازن در هنگام تخلیه کامل باعث کاهش زمان تخلیه مخازن بالاست می‌شود و در نتیجه زاویه حمله افزایش یافته و زمان رسیدن به سطح را کاهش می‌دهد و تأثیر چندانی بر مقدار زاویه پیچ نهایی ندارد.
ثابتی وابسته به سیال تراکم پذیر	k	
بردار گشتاور وارد بر زیردریایی	M_0	
گشتاورهای ناشی از جرم اضافه	M_{A_j}	
گشتاور پیشران پروانه	M_{P_x}	
بردار گشتاور وزن	M_w	
جرم زیردریایی	m	
ماتریس جرم افزوده	$m_{A_{ij}}$	
جرم هوا	m_a	
جرم کل هوای ذخیره شده	m_{r0}	
دور پروانه	n	
فشار هوای داخل مخازن در هنگام تخلیه کامل	P	
فشار هوای مخازن بالاست	P_{ai}	
فشار جو	P_{at}	
مولفه‌های سرعت زاویه ای در دستگاه بدنی	p, q, r	
بردار موقعیت مرکز شناوری در دستگاه بدنی	r_B	
بردار موقعیت مرکز جرم در دستگاه بدنی	r_G	
دمای هوای مخازن	T	
سرعت اولیه زیردریایی	U_0	
اندازه سرعت زیردریایی	U	
مولفه‌های سرعت خطی در دستگاه بدنی	u, v, w	
حجم کلی مخازن	V_T	
حجم کل هوای مخازن	V_a	
حجم هوای مخزن بالاست ۱ ام	V_{ai}	
حجم مخزن بالاست ۱ ام	V_{Ti}	
بردار سرعت خطی مبداء دستگاه بدنی	v_o	
وزن زیردریایی	W	
وزن زیردریایی در حالت غوطه وری	W_0	
موقعیت طولی مرکز شناوری	x_B, z_B	نمادها
موقعیت طولی و جانبی مرکز جرم در دستگاه بدنی	x_G, z_G	نیروی شناوری B
موقعیت مرکز جرم کسر جرم هوای دمیده شده در دستگاه بدنی	x_μ, z_μ	ثابتی وابسته به خصوصیات قطر نازل C_1
موقعیت مرکزیت محوری هر مخزن	x_{Ti}	قطر پروانه d_p
موقعیت زیردریایی در دستگاه اینرسی	x_o, y_o, z_o	بیشینه قطر زیردریایی d
مختصات مرکز جرم دمیده شده	x_μ, y_μ, z_μ	قطر نازل D
عمق سطح آب مخزن ۱ ام	z_{wi}	خارج مرکزی نیروی پیشران از محور مرکزی e
زوایای اویلر	φ, θ, ψ	بردار نیروی وارد بر زیردریایی F_o
زاویه حمله	α	نیروی پیشران پروانه F_{P_x}
زاویه دریفت	β	بردار نیروی وزن F_w
		نیروهای ناشی از جرم اضافه F_{A_j}

- on naval hydrodynamics, Washington, USA, pp. 478–489, 1996.
- [4] Pankajakshan R., Remotigue M. G., Taylor L. K., Jiang M., Briley W. R., Whitfield D. L., "Validation of control-surface induced submarine maneuvering simulations using UNCLE", 24th symposium on naval hydrodynamics, Fukuoka, Japan, 2003.
- [5] Minnick L. M., "A Parametric Model for Predicting Submarine Dynamic Stability in Early Stage Design", M.S. Thesis, Virginia Tech, 2006.
- [6] Saout O., "Computation of hydrodynamic coefficients and determination of dynamic stability", M.S. Thesis, Florida Atlantic University, 2003.
- [7] D. J. Yeo, K. P. Rhee, "Sensitivity analysis of submersibles maneuverability and its application to the design of actuator inputs", Ocean Engineering, Vol. 33, pp. 2270-2286, 2006.
- [8] Sen D., "A study on sensitivity of maneuverability performance on the hydrodynamic coefficients for submerged bodies", Journal of Ship Research, vol. 44, no. 3, pp.186–196, 2000.
- [9] Bettle M. C., Gerber A. G., Watt G. D., "Unsteady analysis of the six DOF motion of a buoyantly rising submarine", Computers and Fluids, vol. 38, no. 9, pp. 1833-1849, 2009.
- [10] Font R., Ovalle D., Garcia J., "Modeling and Simulating Ballast Tank Blowing and Venting Operations in Manned Submarines", 8th IFAC Conference on Control Applications in Marine Systems, Rostock, Germany, pp. 67-72, 2010.
- [11] Font R., Murillo J. A., Periago F., Pelaez J. G., "Controllability of a mathematical model for blowing and venting operations in submarines", XXII Congreso de Ecuaciones Diferenciales y Aplicaciones, Palma, Spain, 2011.
- [12] Font R., Peláez J. G., Murillo J. A., Periago F., "Modelling, Analysis and Control of Blowing-Venting Operations in Manned Submarines", Journal of Control Engineering and Technology, Vol. 4, Issue 1, pp. 37-49, 2014.
- [13] Feldman J., DTNSRDC revised standard submarine equations of motion, David W. Taylor Naval Ship Research and Developmet Center, 1979.
- [14] Lewandowski E. M., The Dynamics of Marine Craft Maneuvering and Seakeeping, Singapore, World Scientific, 2003.
- [15] Fossen T. I., Guidance and Control of Ocean Vehicles, New York, John Wiley & Sons, 1994.

ω	بردار سرعت زاویه‌ای دستگاه بدنی
\mathcal{E}_{jkl}	عناصر تانسور جایگشت
δ_r	زاویه سطوح کنترلی عمودی عقب
δ_e	زاویه سطوح کنترلی افقی عقب
δ_{st}	زاویه سطوح کنترلی پایدار کننده
ρ	چگالی سیال
ρ_r	چگالی هوای دمیده شده
ρ_{r0}	چگالی هوای ذخیره شده
μ	کسر جرم دمیده شده
ρ_{ai}	چگالی هوا در مخازن
∇	حجم جابجایی زیردریایی
σ_y^r, σ_z^q	ضرایب هیدرودینامیکی مربوط به اثرات متقابل
τ_y^q, τ_z^r	
σ_H	بردار ضرایب نیروی هیدرودینامیکی بدن
σ_{C_r}	بردار ضرایب نیروی هیدرودینامیکی سطوح کنترلی
σ_{C_e}	عمودی عقب
$\sigma_{C_{st}}$	بردار ضرایب نیروهای هیدرودینامیکی سطوح کنترلی
σ^ω	پایدار کننده
τ_{C_r}	بردار ضرایب گشتاور هیدرودینامیکی متقابل
τ_H	بردار ضرایب گشتاور هیدرودینامیکی بدن
τ_{C_e}	بردار ضرایب گشتاور هیدرودینامیکی سطوح کنترلی
$\tau_{C_{st}}$	افقی عقب
τ^ω	بردار ضرایب گشتاور هیدرودینامیکی سطوح کنترلی
	پایدار کننده
	بردار ضرایب گشتاور هیدرودینامیکی متقابل

مراجع

- [1] Boger D., Davoudzadeh F., Dreyer J., McDonald H., Schott C., Aierke W., A. Arabshahi, "A physics-based means of computing the flow around a maneuvering underwater vehicle", Applied Research Laboratory, Penn State University, Technical Report no. 97-002, 1997.
- [2] Watt G. D., Gerber A. G., Holloway A. G. L., "Submarine hydrodynamics studies using computational fluid dynamics", Canadian Marine Hydrodynamics and Structures Conference (CMHSC), 2007.
- [3] McDonald H., Whitfield D., "Self-propelled maneuvering underwater vehicles", 21th symposium